



Modelo SIR aplicado ao Covid-19

Projeto 1 – Cálculo Numérico
Grupo 2

Introdução

- Epidemias e pandemias ao longo da história
- SARS – Cov – 2
- Modelagem matemática
- Modelo SIR





Cidade de Curitiba

- Primeiro caso: 11 de março
- Protocolo de Responsabilidade Sanitária e Social
- Cores e características das bandeiras

PROTOCOLO DE RESPONSABILIDADE SANITÁRIA E SOCIAL



Alerta

Iniciamos com a bandeira amarela que é sinal de alerta constante devido à pandemia e não termos segurança e situação de normalidade. Todos devem estar o tempo todo em alerta e adotando as medidas de precaução largamente anunciadas e orientadas e cumprir todas as orientações do protocolo de responsabilidade sanitária e social.

Saiba mais

Situação atual



Risco moderado

Segundo nível de alerta onde haverá restrições a funcionamento de serviços e do comércio e áreas onde propiciam a aglomeração de pessoas.

Saiba mais



Alto risco

Nível de alerta total (bandeira vermelha) onde haverá a restrição da circulação de pessoas, permitindo o funcionamento apenas dos serviços essenciais.

Saiba mais

<https://coronavirus.curitiba.pr.gov.br/>

Objetivos

- Interferência da bandeira vigente
- Análise pelo modelo SIR
- Evidência da necessidade de restrições



Modelo SIR

S = suscetíveis

I = infectados

R = recuperados

N = total de habitantes

$$\begin{cases} \frac{dS}{dt} = -\frac{\beta \cdot I \cdot S}{N} \\ \frac{dI}{dt} = \frac{\beta \cdot I \cdot S}{N} - \gamma \cdot I \\ \frac{dR}{dt} = \gamma \cdot I \end{cases}$$

- Com β sendo a taxa de crescimento da doença
- Com γ sendo a taxa de recuperação



Método de Euler

Problema de Valor Inicial

$$\begin{cases} y' = f(x, y(x)) \\ y(x_0) = y_0 \end{cases}$$

Método de Euler

$$y_{n+1} = y_n + h \cdot f(x_n, y_n)$$

Método de Runge Kutta

Problema de Valor Inicial

$$\begin{cases} y' = f(x, y(x)) \\ y(x_0) = y_0 \end{cases}$$

Método de Runge Kutta

$$\begin{cases} y_{n+1} = y_n + \frac{h}{6} \cdot (k_1 + 2k_2 + 2k_3 + k_4) \\ x_{n+1} = x_n + h \end{cases}$$

onde:

$$k_1 = f(x_n, y_n)$$

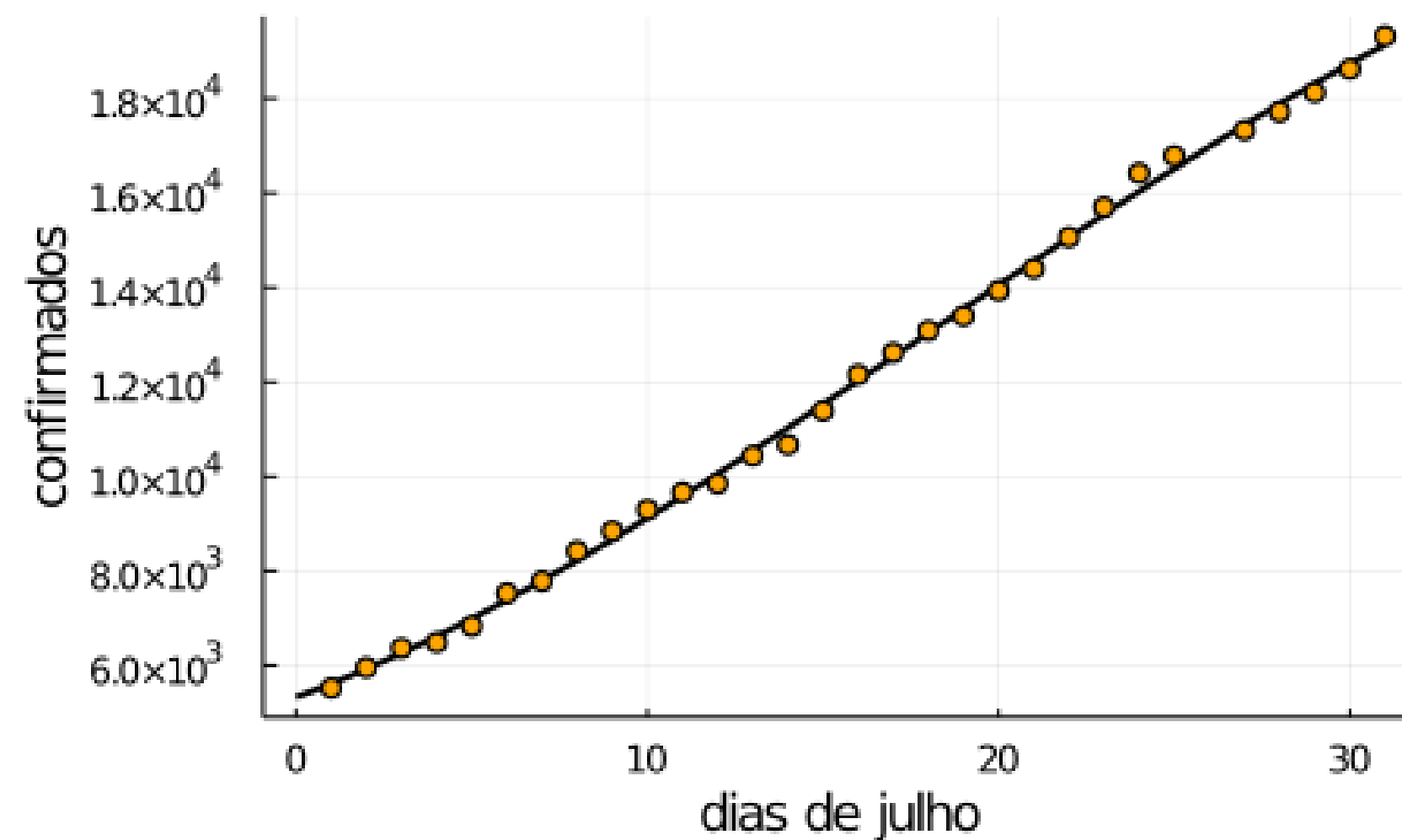
$$k_2 = f\left(x_n + \frac{h}{2}, y_n + \frac{h}{2} \cdot k_1\right)$$

$$k_3 = f\left(x_n + \frac{h}{2}, y_n + \frac{h}{2} \cdot k_2\right)$$

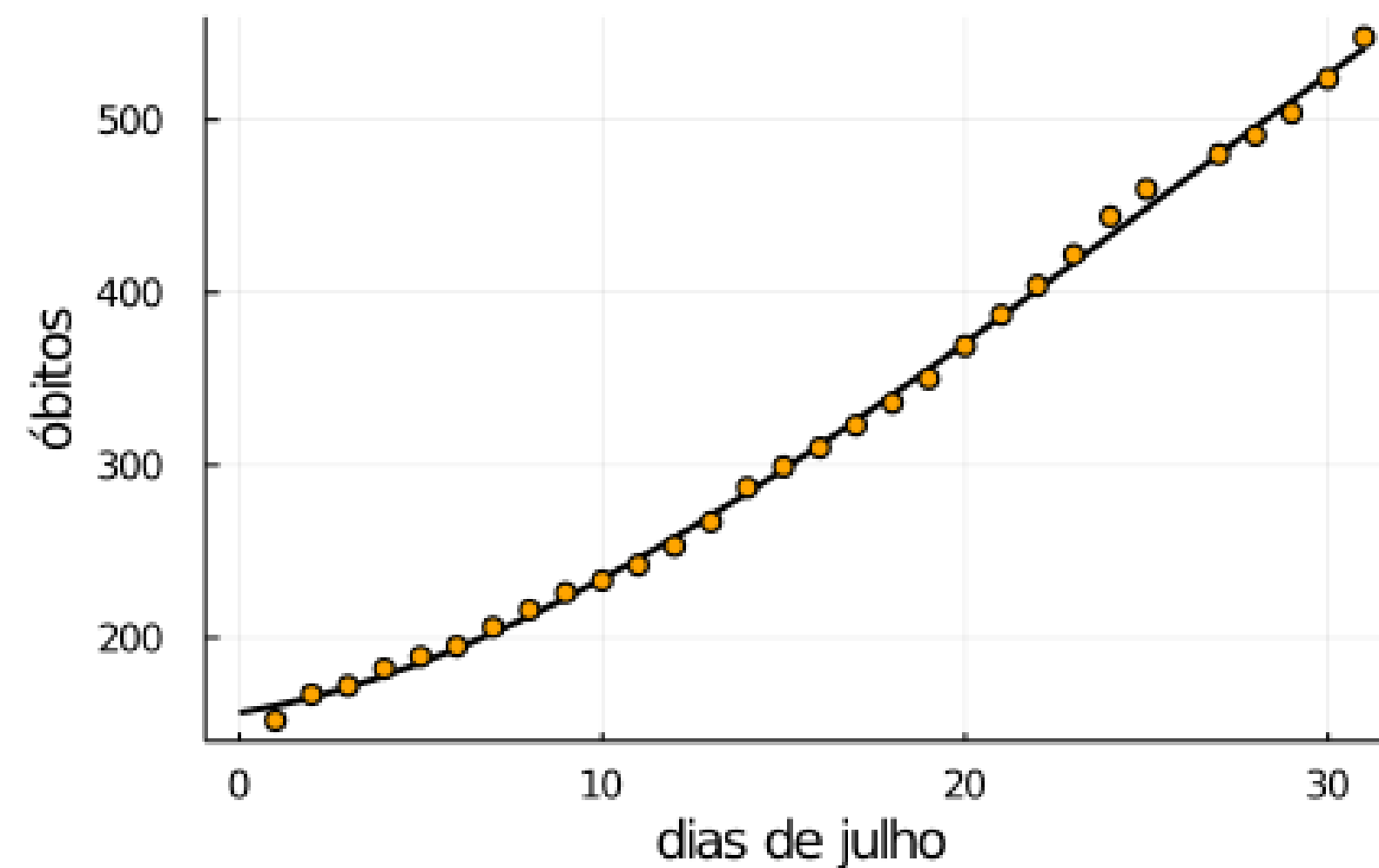
$$k_4 = f(x_n + h, y_n + h \cdot k_3)$$

Estudo de Julho

Casos confirmados até julho

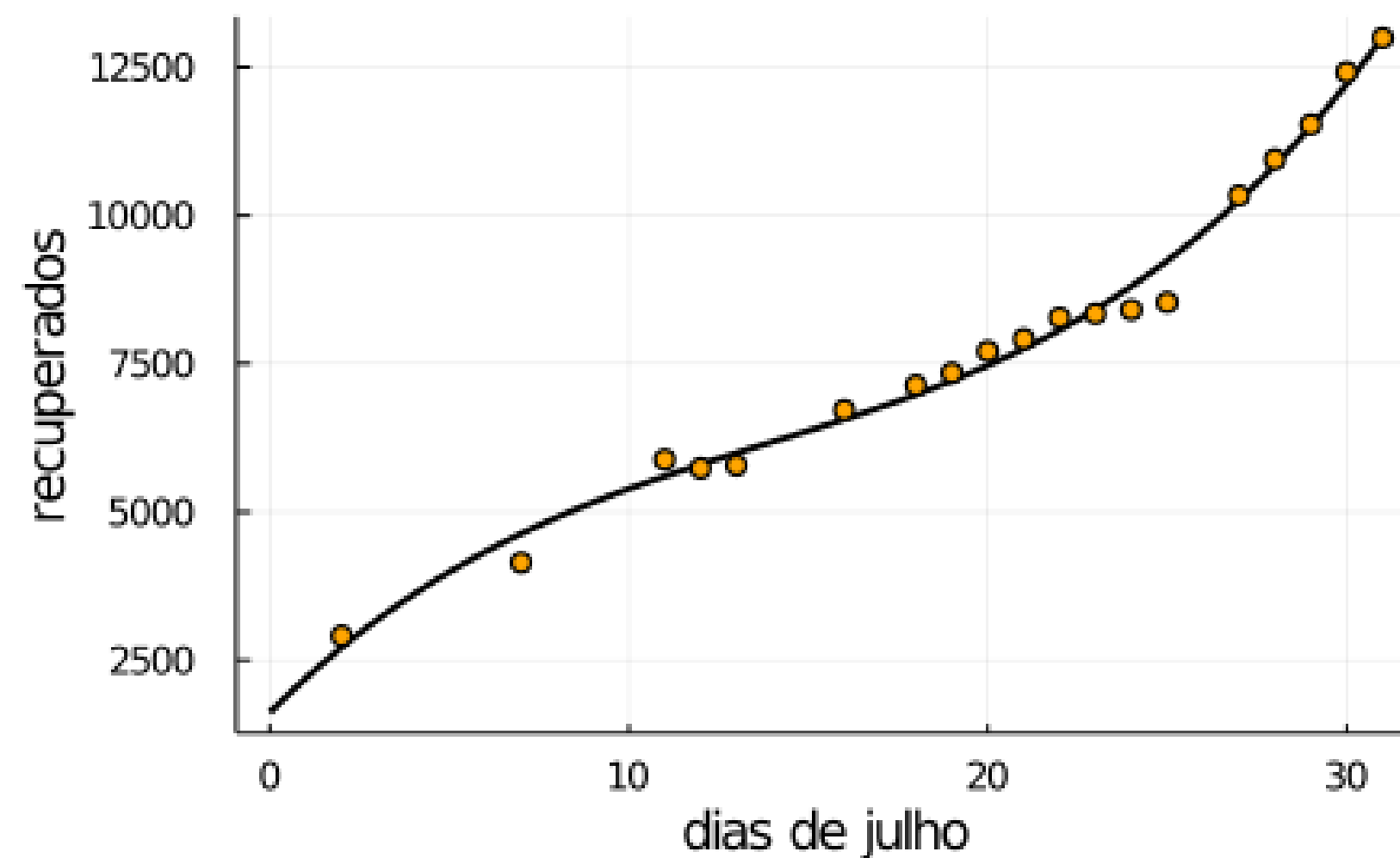


Óbitos até julho

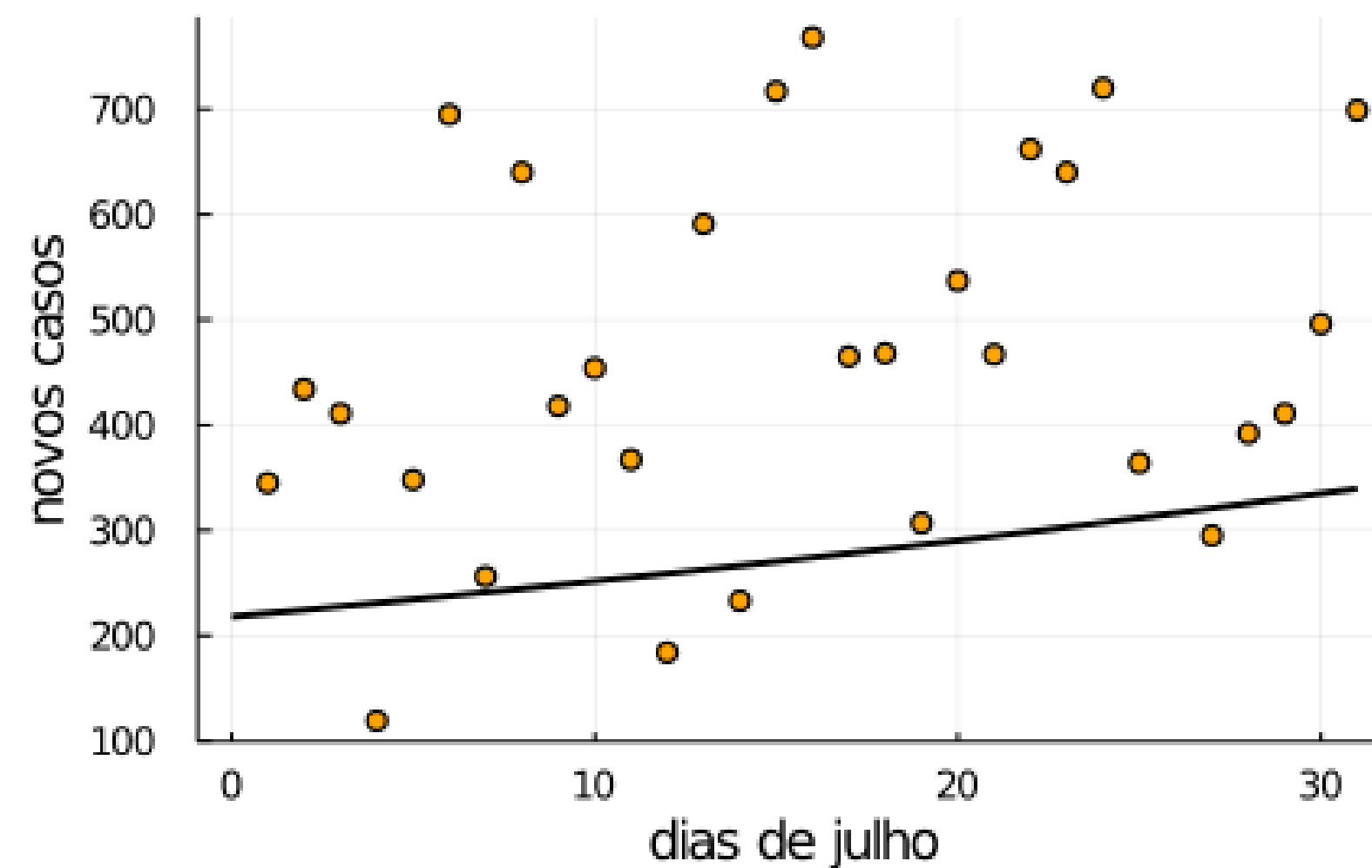


Estudo de Julho

Recuperados até julho

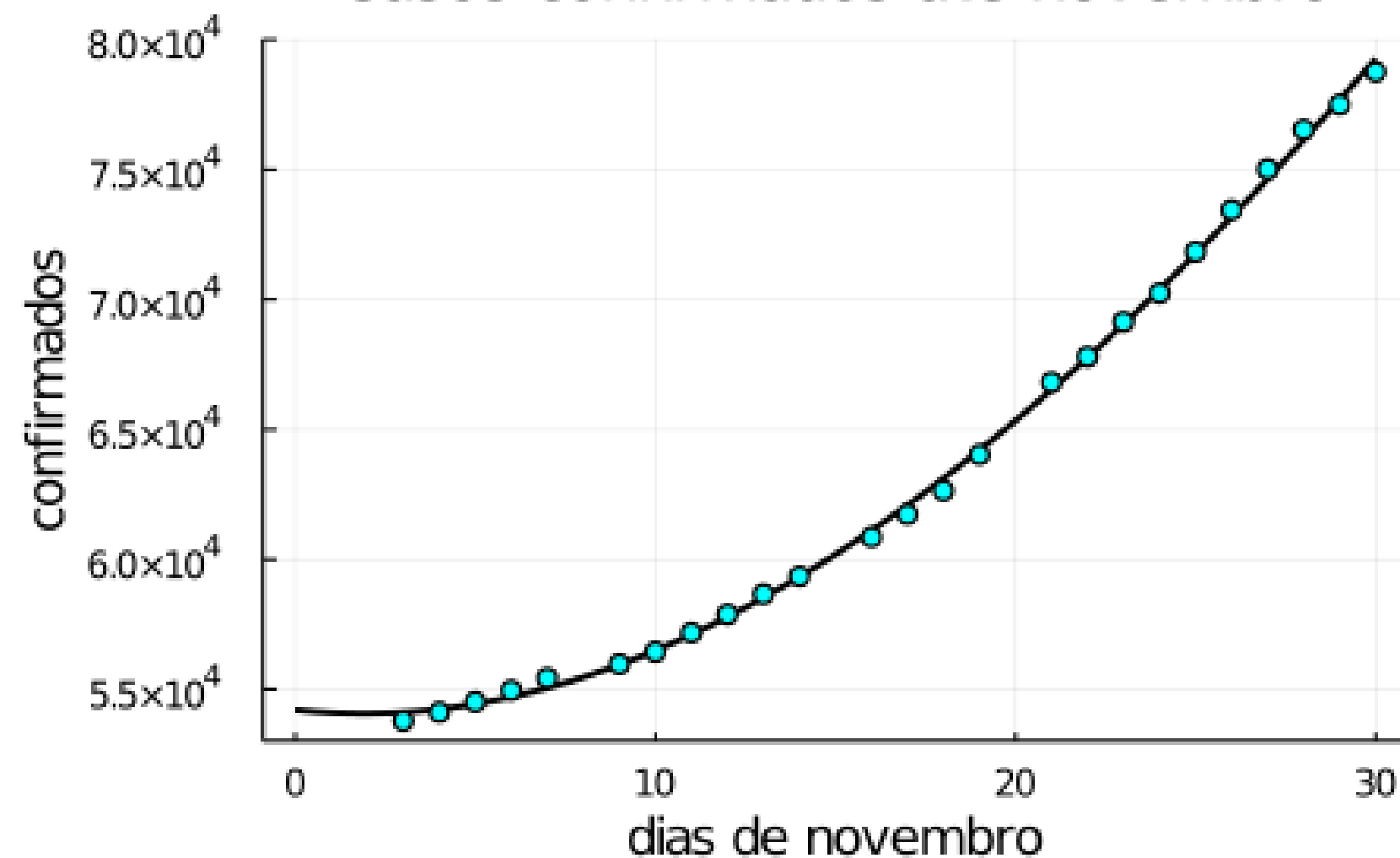


Novos casos em julho

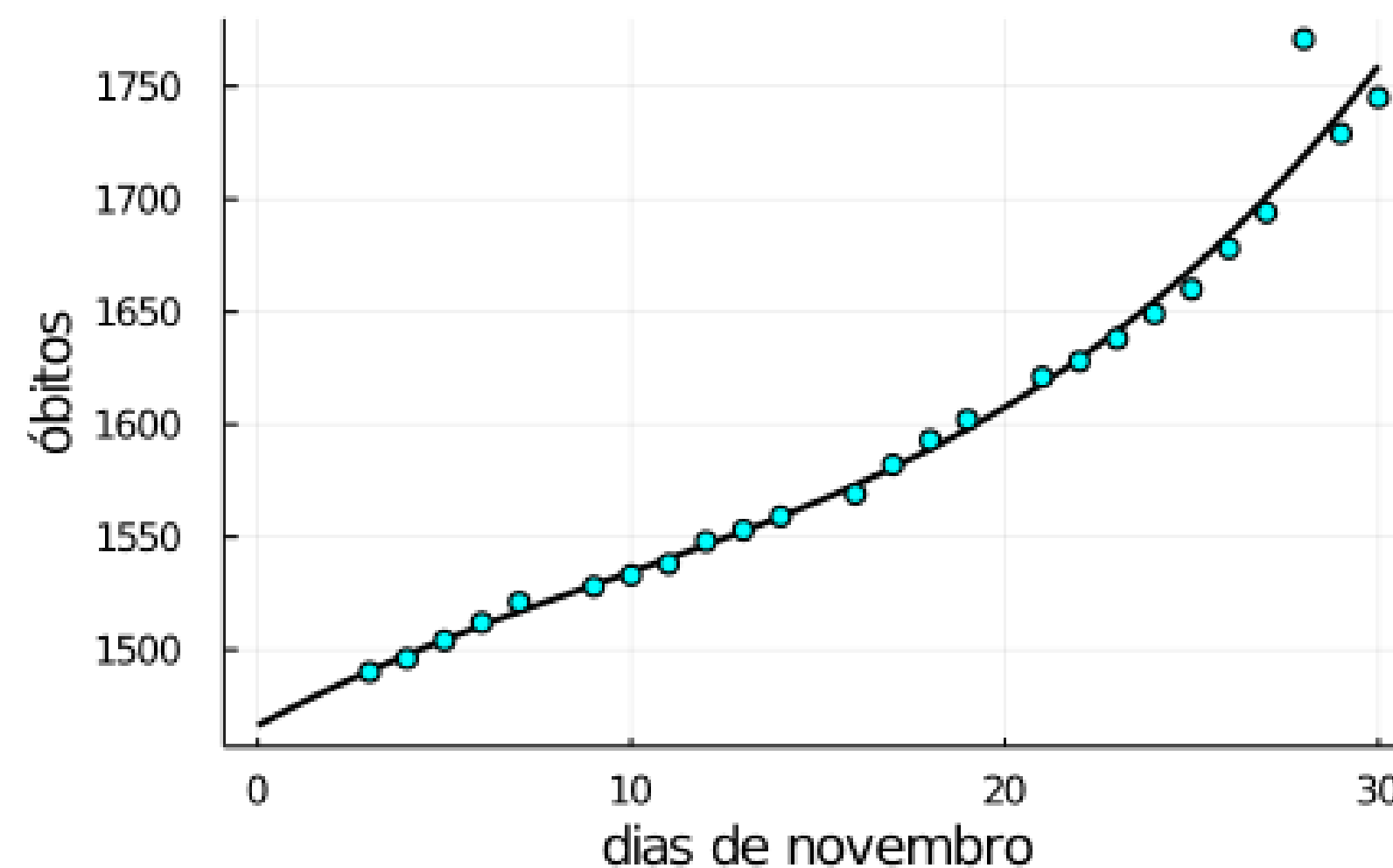


Estudo de Novembro

Casos confirmados até novembro

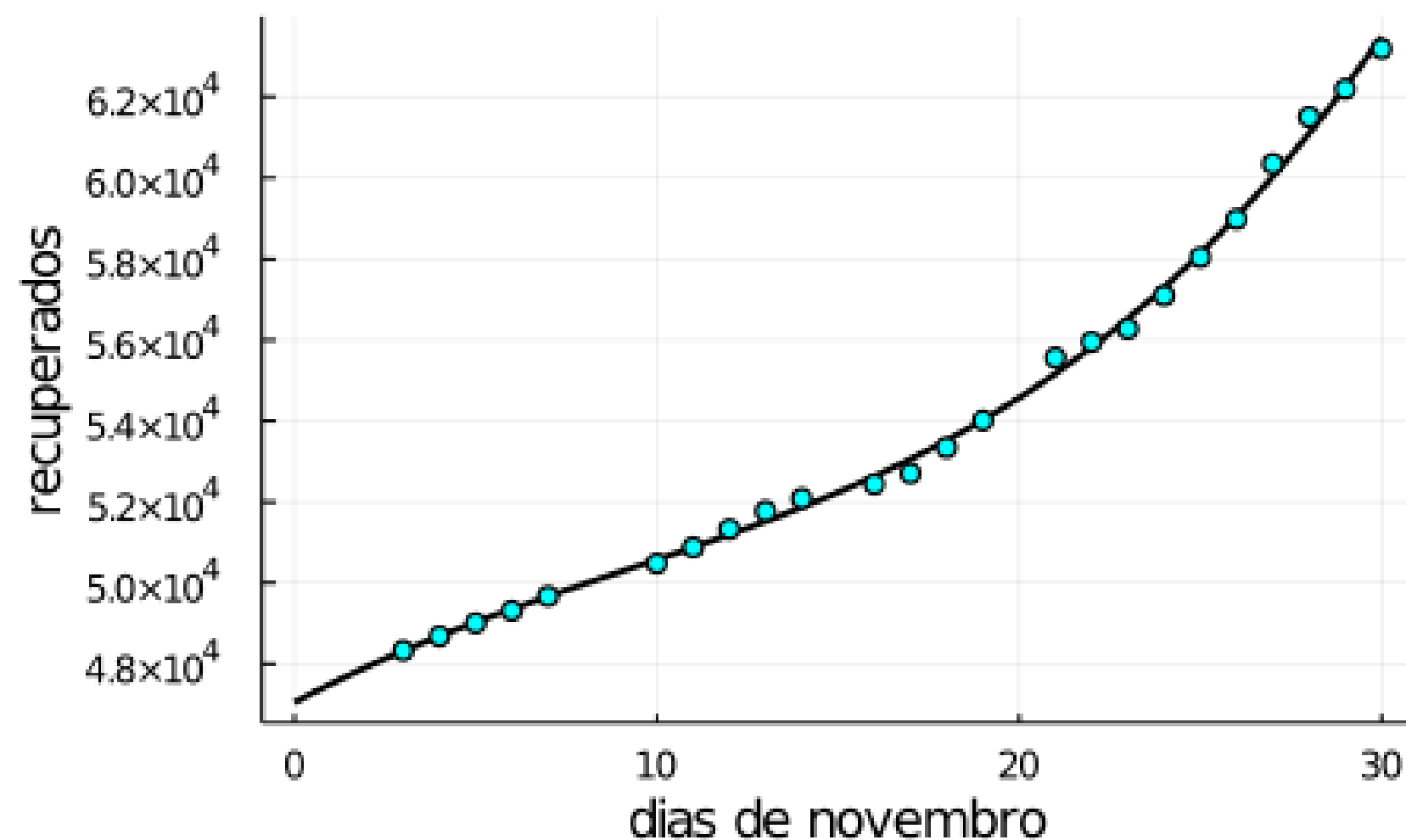


Óbitos até novembro

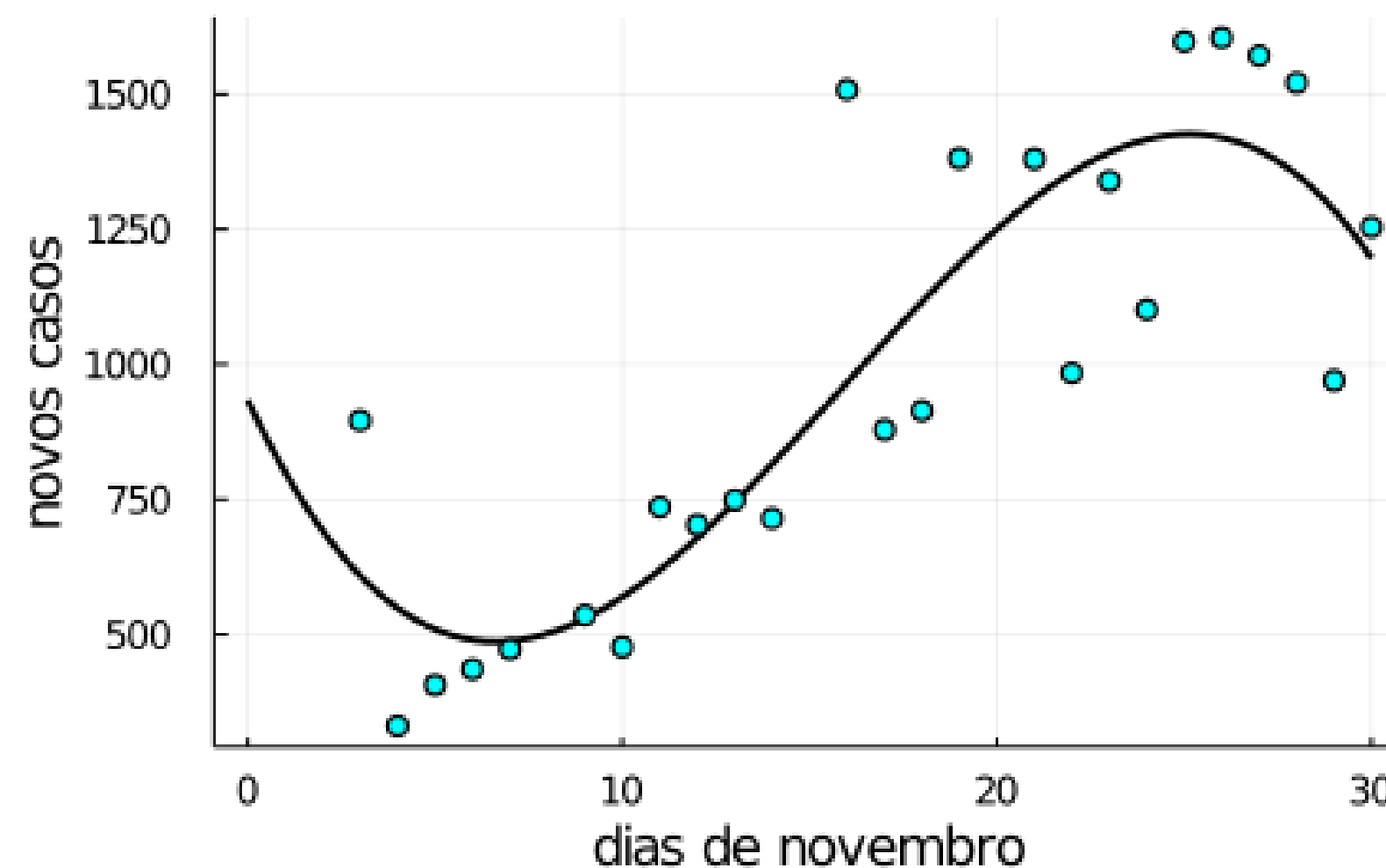


Estudo de Novembro

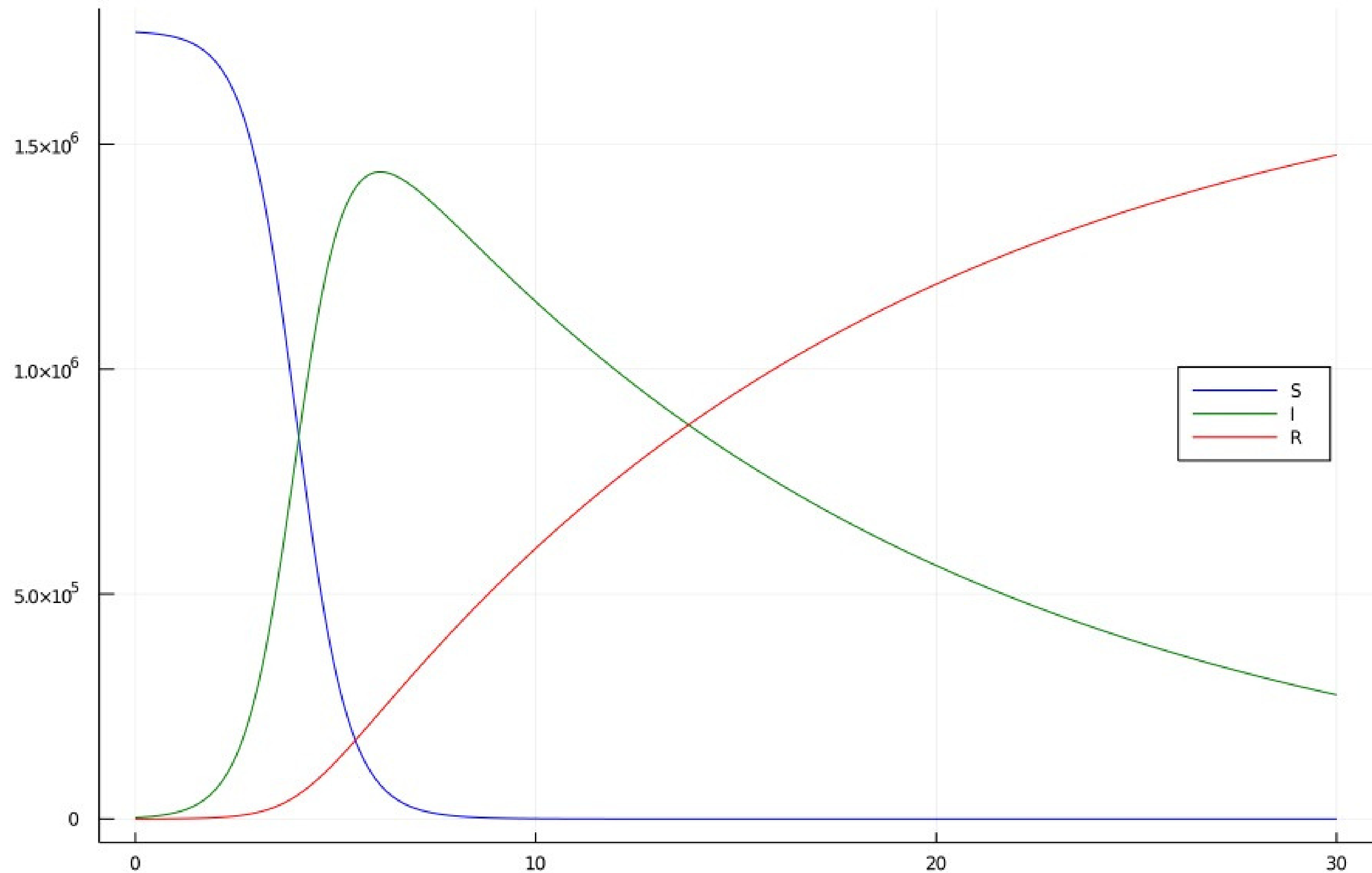
Recuperados até novembro



Novos casos em novembro



Modelo SIR - Julho

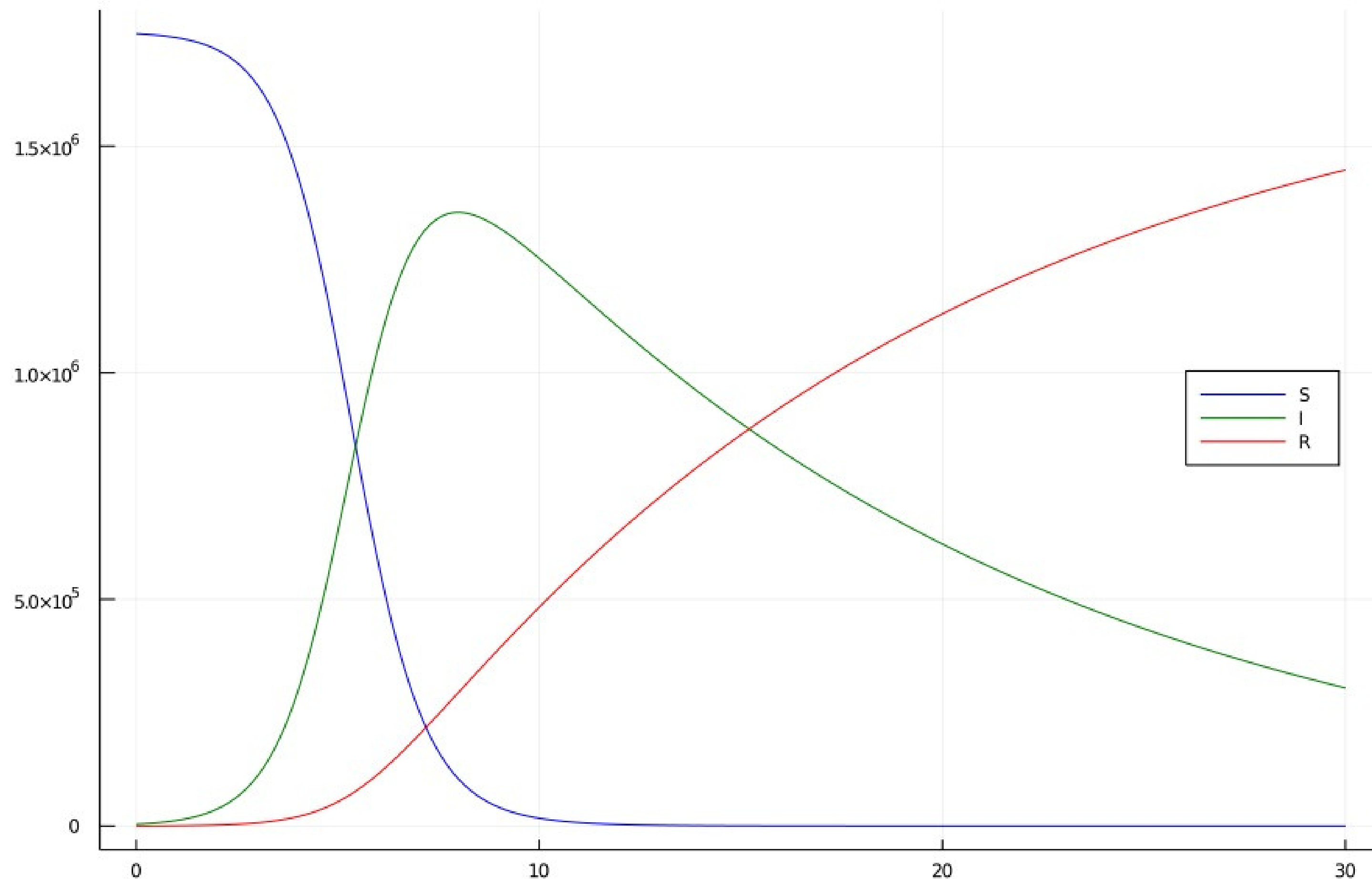


$\beta = 1,65$

$\gamma = 1/14$

$y_0 = 2881$

Modelo SIR Novembro



$$\beta = 1,20$$

$$\gamma = 1/14$$

$$y_0 = 3965$$

Código

```
function metodo_de_euler(x0, y0 :: Vector, f, xN, N)
    h = (xN - x0) / N
    m = length(y0)
    y = zeros(m, N + 1)
    y[:,1] = y0
    x = range(x0, xN, length = N + 1)
    for k = 1:N
        y[:,k+1] = y[:,k] + h * f(x[k], y[:,k])
    end
    return x, y
end
```

```
function metodo_runge_kutta(x0, y0 :: Vector, f, xN, N)
    h = (xN - x0) / N
    m = length(y0)
    y = zeros(m, N + 1)
    y[:,1] = y0
    x = range(x0, xN, length=N+1)
    for k = 1:N
        k1 = f(x[k], y[:,k])
        k2 = f(x[k] + 0.5, y[:,k] + h * k1 / 2)
        k3 = f(x[k] + 0.5, y[:,k] + h * k2 / 2)
        k4 = f(x[k+1], y[:,k] + h * k3)
        y[:,k+1] = y[:,k] + h * (k1 + 2k2 + 2k3 + k4) / 6
    end
    return x, y
end
```

```

function sir_novembro(i, metodo)
    # i é o tempo de infecção. Ex.: i=14
    if metodo != :euler && metodo != :runge
        error("insira ':runge' ou ':euler'")
    end

    T = 1_752_000 #Total de habitantes na cidade de Curitiba
    γ = 1/i #Taxa de recuperação
    β = 1.20 #Taxa de crescimento

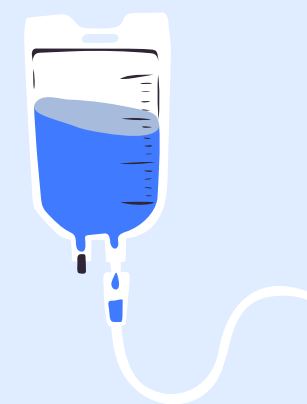
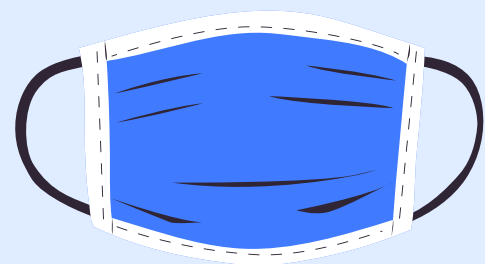
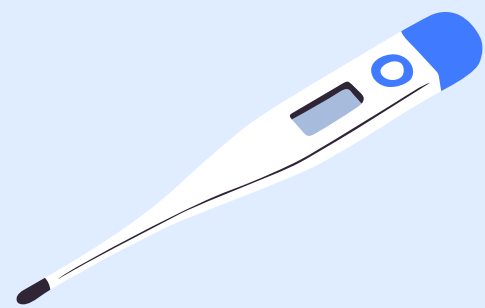
    f(x, y) = [-β / T * y[2] * y[1];
               β / T * y[2] * y[1] - γ * y[2];
               γ * y[2]]

    x0 = 0.0 #Onde se inicia, dado pelo tempo
    y0 = [T - 3965.0; 3965.0; 0.0] #Onde se inicia, número dos casos
    xf = 30.0 #Onde termina, ou seja, o tempo final
    N = 1000 #Quantos passos a função dará

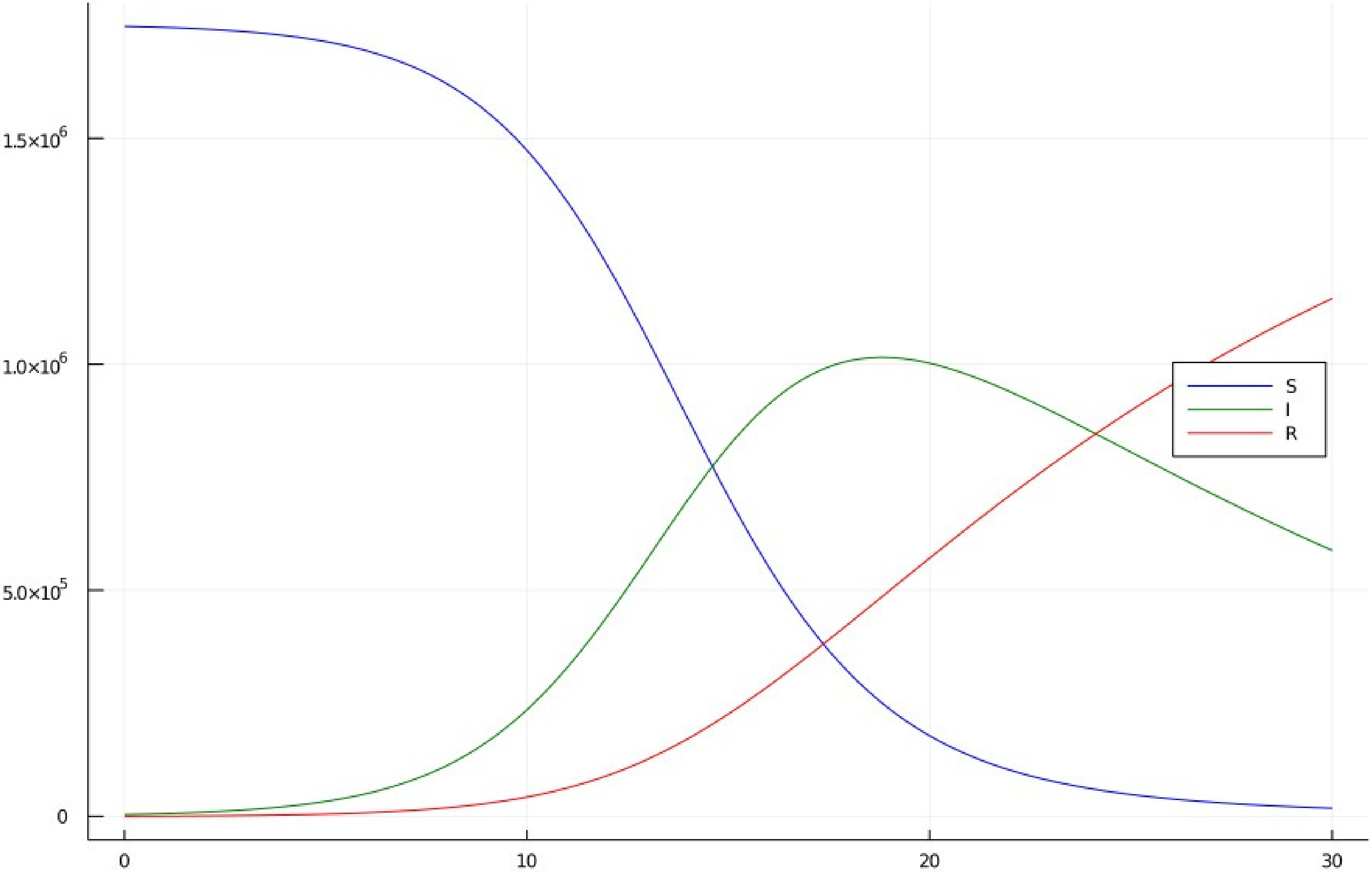
```


Conclusões

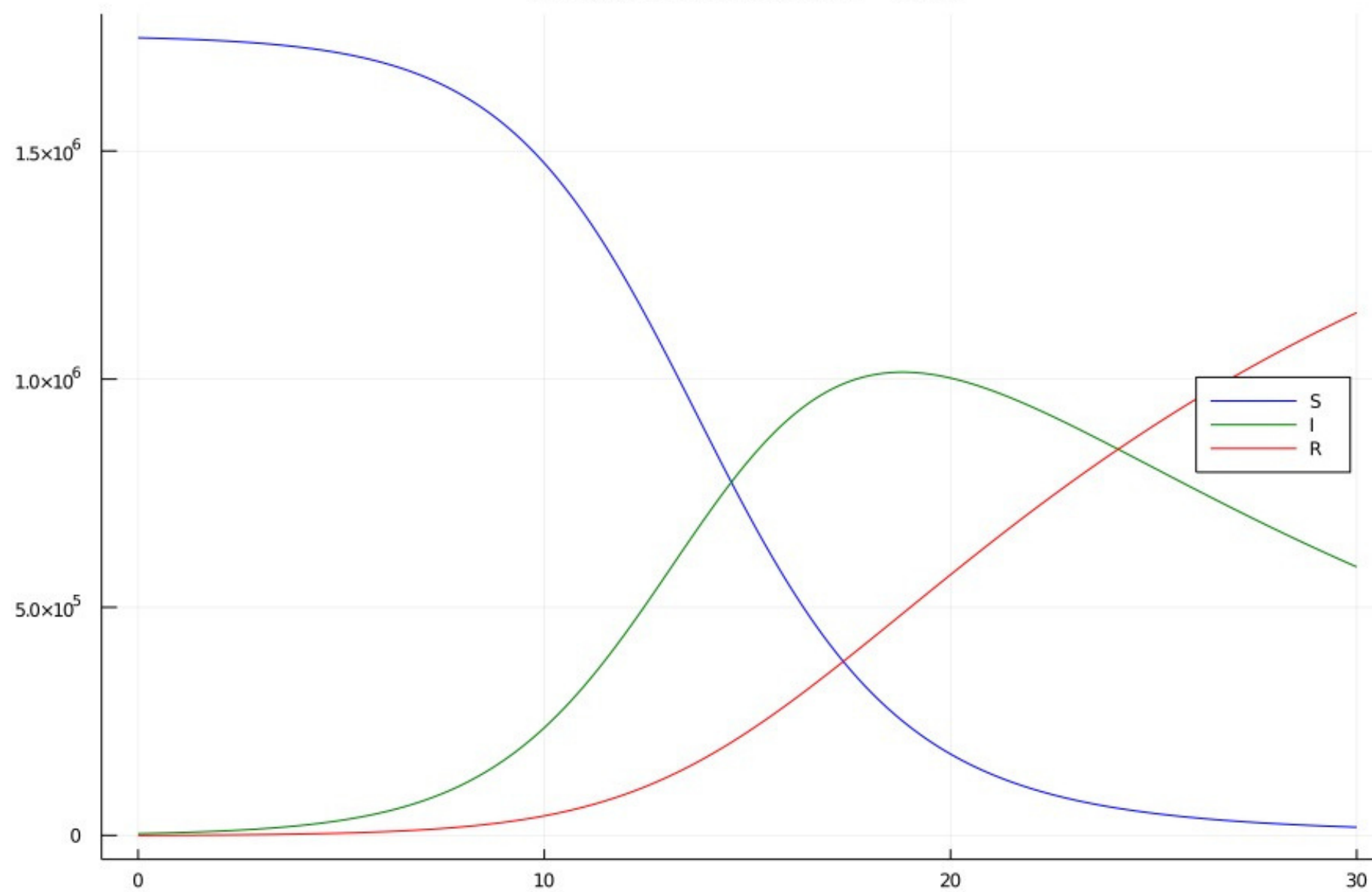
- Comparação com $\beta = 0,5$
- Há necessidade de restrições
- Comparação entre bandeiras



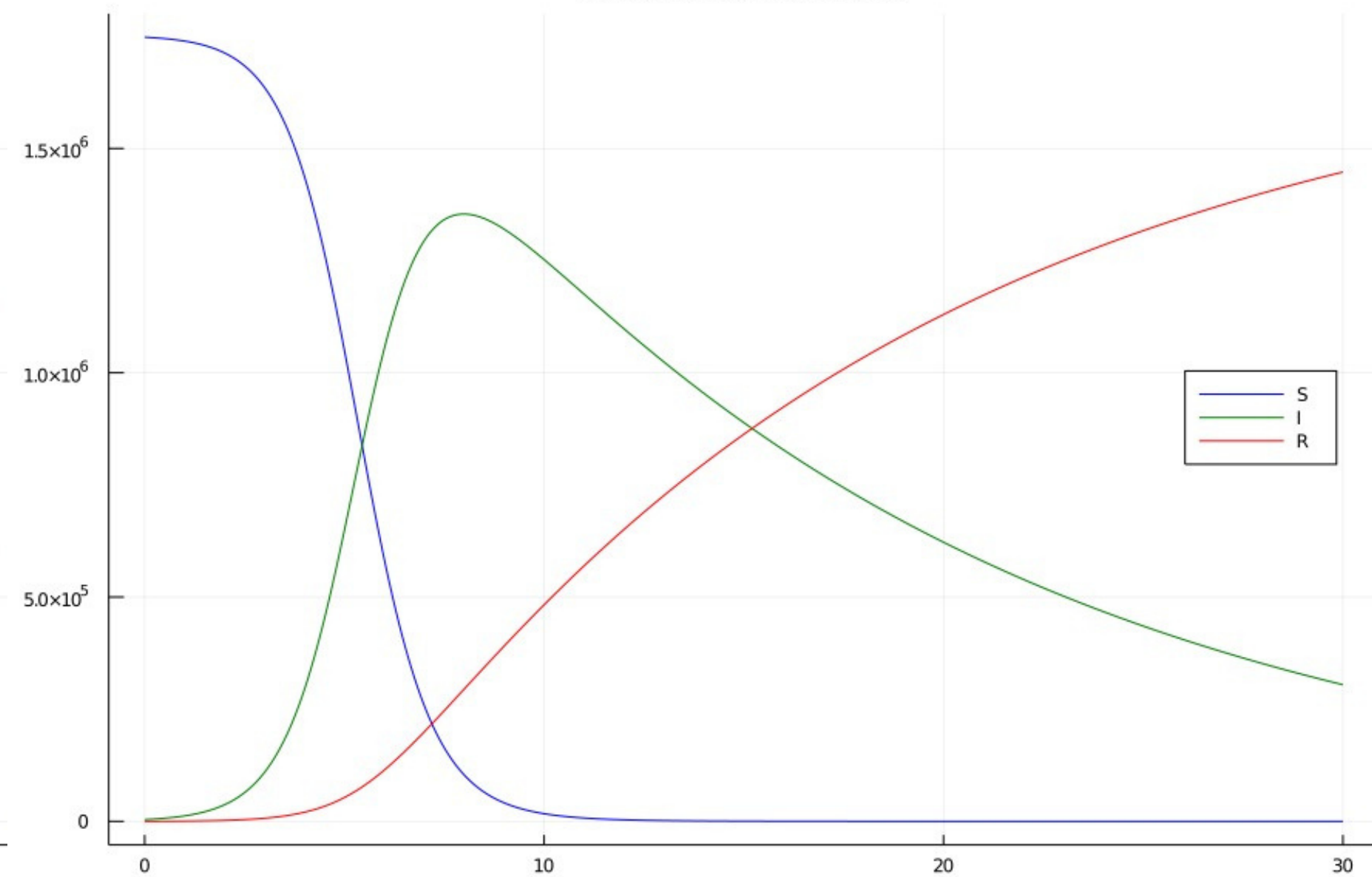
Modelo SIR Novembro - Ideal



Modelo SIR Novembro - Ideal

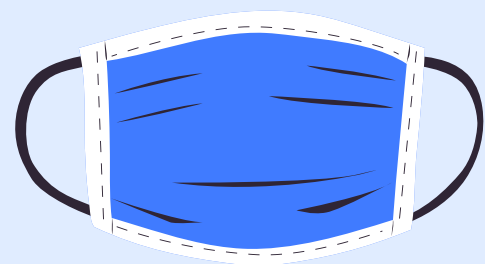
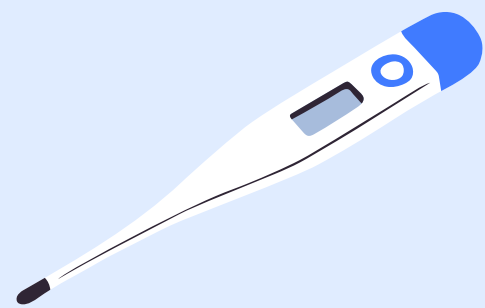


Modelo SIR Novembro

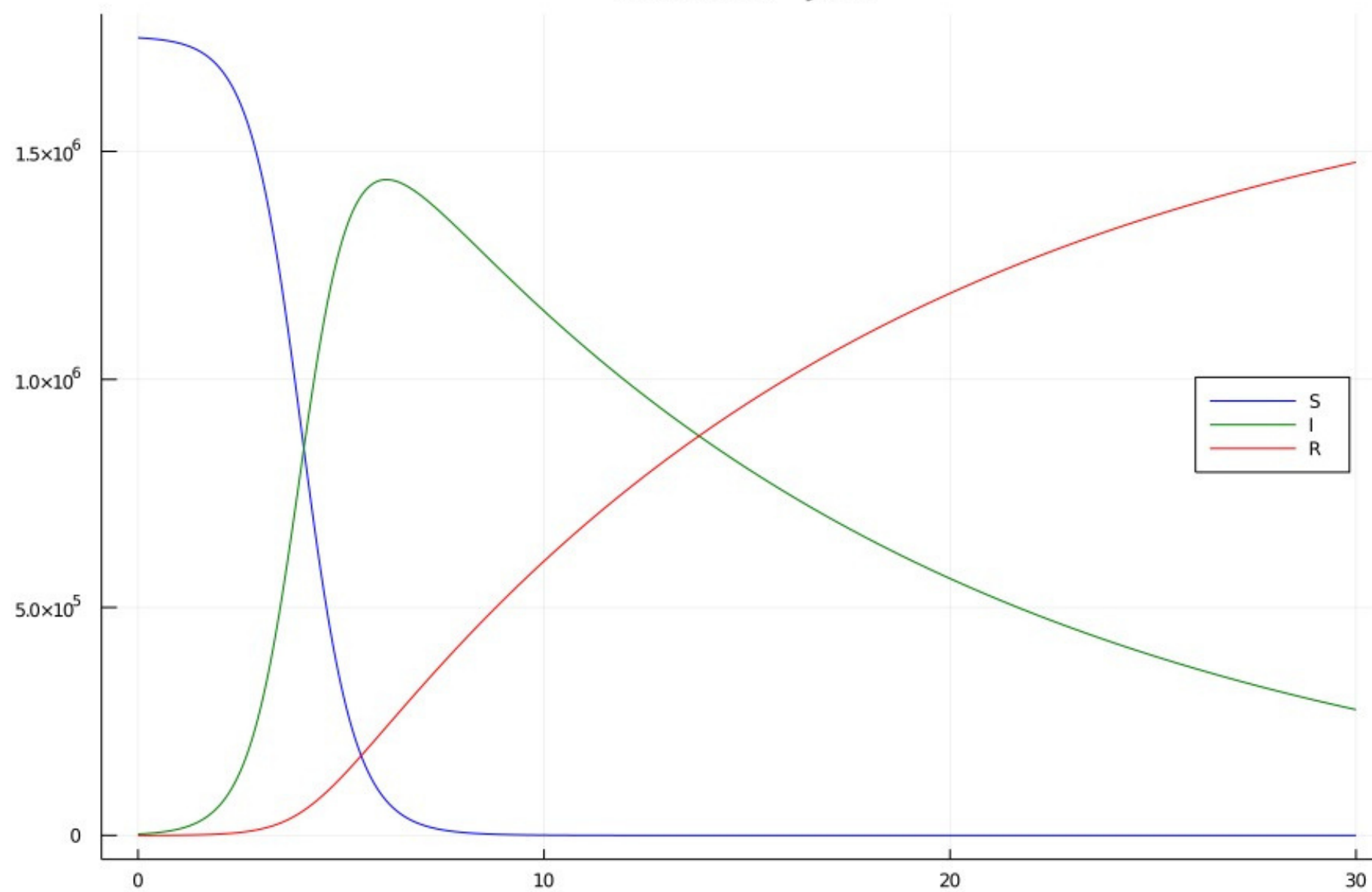


Conclusões

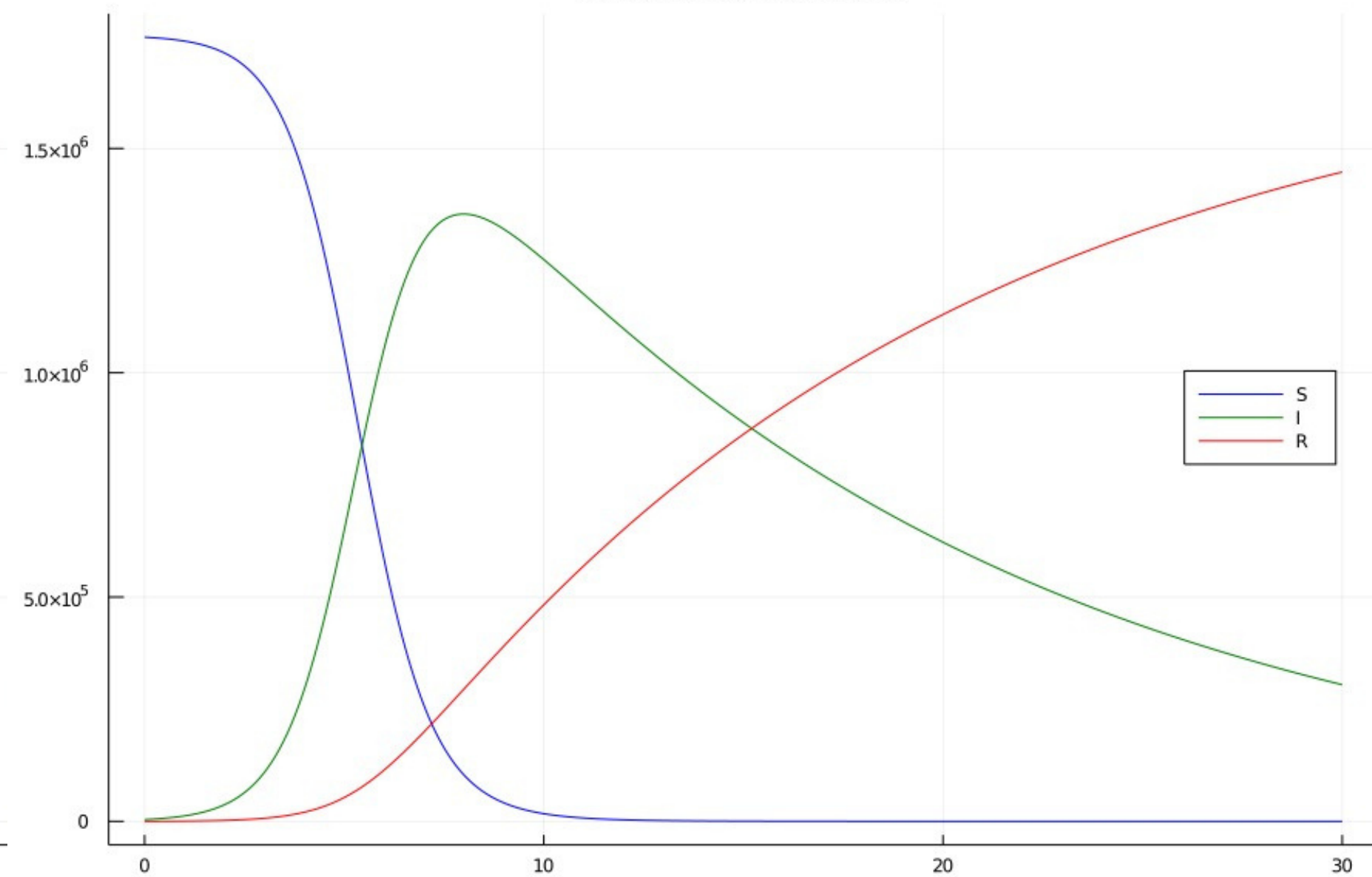
- Comparação com $\beta = 0,5$
- Há necessidade de restrições
- Comparação entre bandeiras



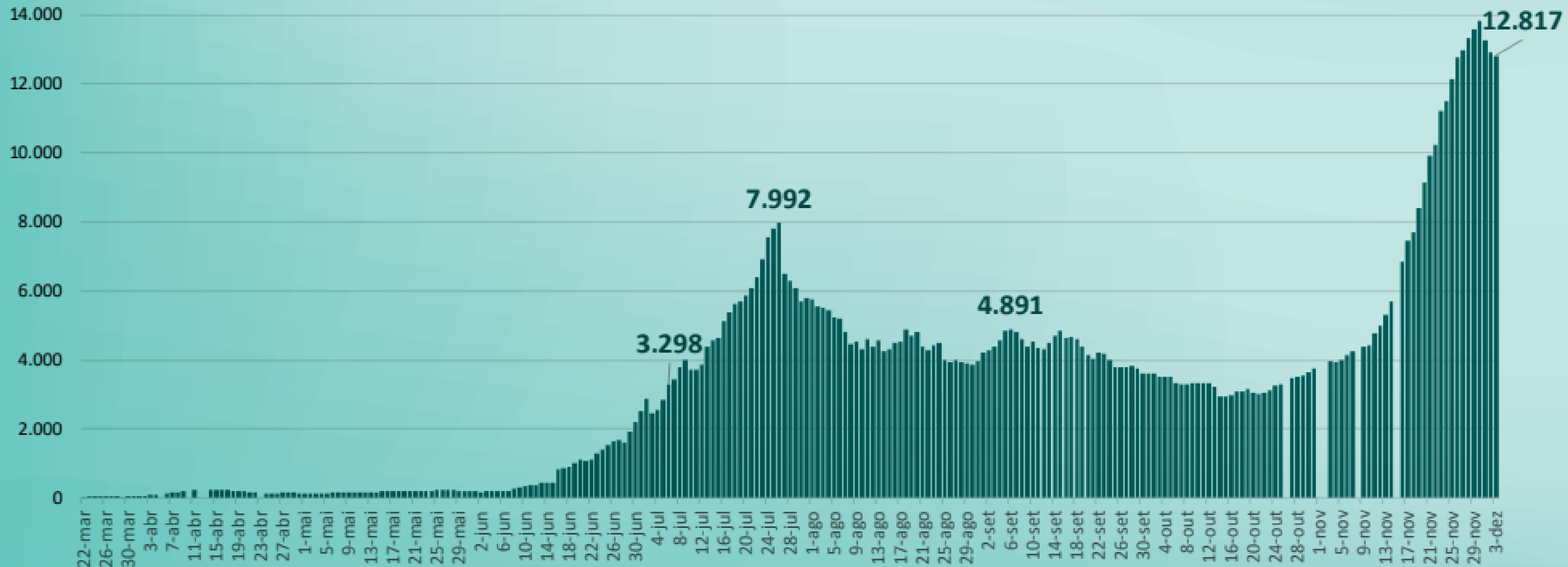
Modelo SIR - Julho



Modelo SIR Novembro



Casos ativos diários de COVID-19 em Curitiba (PR), no período de 11/03 até 03/12/2020.



Fontes: SMS/CE/ Monitoramento COVID-19. Dados até 03/12/2020.

Referências

PROTOCOLO DE RESPONSABILIDADE SANITÁRIA E SOCIAL. Curitiba contra o Coronavírus, Prefeitura de Curitiba, Curitiba, 29/11/2020. Disponível em: *< [https : // coronavirus.curitiba.pr.gov.br/numerosCovid](https://coronavirus.curitiba.pr.gov.br/numerosCovid) >*. Acesso em: 29 de novembro de 2020 e datas anteriores.

MARTINS, Camila Marinelli et al. Modelo Preditivo da ocorrência de Covid-19 em município de médio porte no Brasil (Ponta Grossa - Paraná). Texto Contexto-Enfermagem, v. 29, 2020. Disponível em: *< [https : // www.scielo.br/scielo.php?pid = S0104 – 07072020000100204script = sci_arttexttln = pt](https://www.scielo.br/scielo.php?pid=S0104-07072020000100204script=sci_arttexttln=pt) >*. Acesso em: 25 de novembro de 2020.

A Evolução epidêmica do COVID-19 - Modelo SIR. Disponível em: *< [https : // wp.ufpel.edu.br/fentransporte/2020/04/09/a – evolucao – epidematica – do – covid – 19 – modelo – sir/](https://wp.ufpel.edu.br/fentransporte/2020/04/09/a-evolucao-epidematica-do-covid-19-modelo-sir/) >* . Acesso em: 25 de novembro de 2020.

Modelos matemáticos serão estratégicos no combate ao coronavírus. Publicado em 11 de Junho de 2020. Disponível em: *< [https : // www.sbmt.org.br/portal/mathematical – models – will – be – strategic – in – combating – coronavirus/](https://www.sbmt.org.br/portal/mathematical-models-will-be-strategic-in-combating-coronavirus/) >*. Acesso em: 26 de novembro de 2020.

Referências

GOMES, Sebastião C. P. et al. MODELAGEM DINÂMICA DA COVID-19 COM APLICAÇÃO A ALGUMAS CIDADES BRASILEIRAS. Universidade Federal do Rio Grande, Instituto Federal de Educação, Ciência e Tecnologia do Rio Grande do Sul. Rio Grande do Sul. Disponível em $\langle \textit{https} : // \textit{imef.furg.br/images/stories/documentos/2020/artigo2.pdf} \rangle$. Acesso em: 26 de novembro de 2020.

R efetivo em Curitiba. Disponível em $\langle \textit{https} : // \textit{covid19br.github.io/municipios.html?aba} = \textit{aba3uf} = \textit{PRmun} = \textit{Curitiba} = \textit{dia} \rangle$. Acesso em: 10 de dezembro de 2020.

MONICH, J. W. Modelagem da Dinâmica Epidemiológica da Dengue. 2018. 50 f. Trabalho de Conclusão de Curso, Instituto de Matemática e Estatística, Universidade de São Paulo, São Paulo, 2018. Disponível em: $\langle \textit{https} : // \textit{maratona.ime.usp.br/map/tcc/2018/JeniferMonichV1.pdf} \rangle$. $\langle \textit{https} : // \textit{www2.unifap.br/matematicaead/files/2016/03/Enviar} - \textit{Ellison} - \textit{TCC.pdf} \rangle$

$\langle \textit{https} : // \textit{www.ime.unicamp.br/valle/Teaching/2015/MS211/Aula14.pdf} \rangle$

$\langle \textit{https} : // \textit{planetcalc.com/5992/?language}_{\textit{select}} = \textit{ptthanks} = 1 \rangle$

Obrigado pela atenção

Se cuidem, fiquem em casa,
higienizem as mãos e usem máscara

